

مجله علوم آماری، پاییز و زمستان ۱۳۹۲

جلد ۷، شماره ۲، ص ۲۴۸-۲۳۳

## تحلیل دو سطحی با اثرات تصادفی چوله نرمال و مدل‌بندی داده‌های طولی

محمد غلامی فشارکی<sup>۱</sup>، انوشیروان کاظم‌نژاد<sup>۱</sup>، فرید زایری<sup>۲</sup>

<sup>۱</sup> گروه آمار زیستی، دانشگاه تربیت مدرس

<sup>۲</sup> گروه آمار زیستی، دانشگاه علوم پزشکی شهید بهشتی

تاریخ دریافت: ۱۳۹۲/۲/۱۷ تاریخ آخرین بازنگری: ۱۳۹۲/۱۰/۲۶

**چکیده:** مدل‌سازی داده‌های دو سطحی با فرض نرمال بودن مولفه تصادفی و خطا انجام می‌شود. عدم برقراری این فرض باعث استنباط غلط در مورد پارامترهای مدل می‌گردد. در این مقاله، استفاده از خانواده توزیع چوله نرمال که خانواده‌ای انعطاف‌پذیرتر از توزیع نرمال است مطرح می‌شود. سپس در یک مطالعه شبیه‌سازی نشان داده می‌شود عدم در نظر گرفتن چولگی مثبت (منفی) در مدل باعث بیش برآورده (کم برآورده) عرض از مبدأ و کم برآورده (بیش برآورده) شبیه مدل می‌گردد سپس با مدل به دست آمده رابطه نوبت کاری و کامسٹرول خون تعیین می‌شود.

**واژه‌های کلیدی:** تحلیل دو سطحی، توزیع چوله نرمال، رهیافت بیزی.

آدرس الکترونیک مسئول مقاله: انوشیروان کاظم‌نژاد، kazem\_an@modares.ac.ir

کد موضوع‌بندی ریاضی (۲۰۱۰): ۶۲F۱۵، ۶۰E۰۵

## ۱ مقدمه

بسیاری از داده‌های حوزه علوم بهداشتی دارای ساختار خوش‌هایی یا سلسله مراتبی هستند (گلدستین، ۲۰۰۸). از آنجا که استفاده از روش‌های متداول مدل‌بندهای رگرسیونی در تحلیل داده‌های خوش‌هایی به دلیل عدم در نظر گرفتن همبستگی بین مشاهدات منجر به کم برآورده خطا و ضرایب رگرسیونی و معنی داری نادرست ضرایب و به تناسب آن افزایش خطا و نوع اول می‌گردد (پنهایرو و بتمن، ۲۰۰۰) از این رو محققان برای تحلیل داده‌های سلسله مراتبی از روش تحلیل چندسطحی<sup>۱</sup> استفاده می‌نمایند (گلدستین، ۲۰۰۸؛ لوک، ۲۰۰۴).

تحلیل چندسطحی بسط مدل‌های خطی تعمیم‌یافته است که در آن علاوه بر مدل‌بندهای متغیر پاسخ ضرایب رگرسیونی نیز مدل‌بندهای می‌گردد. این روش کارا در مدل‌سازی داده‌هایی با ساختار آشیانه‌ای بوده و هدف آن مدل‌بندهای متغیر وابسته براساس تابعی از متغیرهای پیشگو در بیشتر از یک سطح است (هاکس، ۲۰۱۰). معمولاً برای سادگی فرض می‌شود مولفه‌های تصادفی و خطا مدل دارای توزیع نرمال هستند. از آنجا که عدم برقراری این فرض منجر به برآورد نادرست پارامترهای مدل و استنباط نامعتبر در مورد پارامترهای مدل می‌شود، محققان به روش‌هایی چون تبدیل داده‌ها (به‌ویژه استفاده از تبدیل باکس-کاکس<sup>۲</sup>)، استفاده از روش‌های ناپارامتری و توزیع‌های غیر نرمال رو می‌آورند. استفاده از روش‌های ناپارامتری علی‌رغم کاهش اطلاعات از لحاظ عملی دارای محدودیت‌های زیادی برای محققان بوده و از طرف دیگر استفاده از روش تبدیل متغیرها نیز باعث مشکلاتی چون تفسیر نامناسب پارامترهای تحت بررسی، عدم احراز فرض نرمال توأم متغیرها در حالات چند متغیره (تی سانگ و لی، ۲۰۰۳؛ لی و همکاران، ۲۰۰۵؛ جارا و همکاران، ۲۰۰۸)، پنهان شدن فرآیند تولید داده‌ها و کاهش اطلاعات (جارا و همکاران، ۲۰۰۸)، یکتا نبودن تبدیل در مطالعات مختلف می‌گردد (بندیوپدھایی و همکاران، ۲۰۱۰). همچنین استفاده از توزیع‌های غیر نرمال، محقق را از دسترسی به خصوصیات مناسب توزیع‌های بیضوی مانند نرمال دور می‌سازد. راهکار دیگر در

<sup>۱</sup> Multilevel Modeling

<sup>۲</sup> Box-Cox

۲۳۵ ..... محمد غلامی فشارکی و همکاران

حل این معضل استفاده از توزیع‌هایی است که به لحاظ نظری قادر به تبیین تغییرات مشاهده بدون استفاده از فرض نرمال و با داشتن خصوصیات توزیع‌های بیضوی می‌باشد که از آن جمله می‌توان به مطالعات پینهایرو و همکاران (۲۰۰۱)، ژو و هی (۲۰۰۸)، روسا و همکاران (۲۰۰۳)، لین و لی (۲۰۰۶، ۲۰۰۷ و ۲۰۰۸)، لانگ (۲۰۰۷)، جارا و سینشیمر (۱۹۹۳)، ما و همکاران (۲۰۰۴)، لاچوس و همکاران (۲۰۰۹)، جارا و همکاران (۲۰۰۸) و بنديپيدهايی و همکاران (۲۰۱۰) در برآش تابع درستنمايی و رهیافت بیزی و همچنین مقایسه روش‌های انتخاب مدل اشاره نمود. اما علی‌رغم مطالعات متعدد، وجود مطالعه‌ای که در آن به مشاهده تاثیر مؤلفه تصادفی و خطای غیرنرمال بر پارامترهای یک مدل دوستحی می‌پردازد احساس می‌گردد. از این رو این موضوع با انجام یک مطالعه شبیه‌سازی بررسی و نهایتاً این مدل آماری در بررسی طولی رابطه نوبت کاری با کلسترول خون به کار گرفته شده است.

## ۲ مدل آماری و تحلیل بیزی

### ۱.۲ تابع چگالی توان مدل دو سطحی

فرض کنید محققی می‌خواهد تاثیر کار در نوبت کاری را بر میزان کلسترول خون، وقتی که مشاهدات کارگران بصورت طولی جمع‌آوری شده است را اندازه‌گیری نماید. از آنجا که کلسترول خون افراد در زمان‌های مختلفی اندازه‌گیری شده‌اند، داده‌ها مطالعه طولی و به یکدیگر وابسته هستند. در اینجا مجموعه اندازه‌های گرفته شده در زمان‌های مختلف برای هر یک از اعضای نمونه، به عنوان واحدهای سطح اول و هر یک از افراد انتخاب شده به عنوان سطح دوم در نظر گرفته می‌شود. این ساختار در مدل‌های چندسطحی به صورت

$$\begin{aligned} y_{i(j)} &= \beta_0 + \beta_1 x_{i(j)} + \epsilon_{i(j)} \\ \beta_0 &= \beta_0 + u_{(j)} \end{aligned} \quad (1)$$

به ترتیب در سطح اول و دوم قابل ارائه است، که با ادغام آن‌ها به صورت

$$y_{i(j)} = \beta_0 + \beta_1 x_{i(j)} + u_{(j)} + \epsilon_{i(j)} \quad i = 1, \dots, M_j, \quad j = 1, \dots, M \quad (2)$$

## ۲۳۶ ..... تحلیل دو سطحی با مولفه تصادفی چوله نرمال

تبديل می شود. فرض های متداول در برآش مدل های چند سطحی، استقلال و نرمال بودن مولفه های تصادفی و خطأ است، یعنی

$$\begin{aligned} Cov(\epsilon_{i(j)}, u_{(j)}) &= 0 \\ u_{(j)} &\sim N(0, \sigma_u^2), \quad \epsilon_{i(j)} \sim N(0, \sigma_\epsilon^2) \end{aligned} \quad (3)$$

چون فرض نرمال بودن مولفه تصادفی و خطأ در بسیاری از موقعیت به دلیل مشاهدات دور افتاده و یا فرم نامتقارن توزیعی برقرار نیستند می توان به جای آن از توزیع چوله نرمال استفاده نمود.

$$u_{(j)} \sim SN(0, \lambda_u, \sigma_u^2), \quad \epsilon_{i(j)} \sim SN(0, \lambda_\epsilon, \sigma_\epsilon^2) \quad (4)$$

که در آن،  $(Z \sim SN(0, \sigma^2, \lambda))$  نماد توزیع چوله نرمال با میانگین صفر، واریانس  $\sigma^2$  و پارامتر چولگی  $\lambda$  با تابع چگالی (آزالینی ۱۹۸۵)

$$f(z) = \frac{2}{\sigma} \varphi\left(\frac{z - \mu}{\sigma}\right) \Phi\left(\lambda \frac{z - \mu}{\sigma}\right) \quad (5)$$

است به طوری که  $\varphi$  و  $\Phi$  به ترتیب توابع چگالی و توزیع احتمال نرمال استاندارد هستند. آزالینی (۱۹۸۵) نشان داد اگر  $X_1$  و  $X_2$  هر دو دارای توزیع نرمال استاندارد باشند، آنگاه توزیع متغیر تصادفی  $Z$

$$Z = \lambda |X_1| + X_2 \quad (6)$$

چوله نرمال استاندارد با پارامتر  $\lambda$  است. بنابراین دو بردار تصادفی  $u$  و  $\epsilon$  را می توان به صورت

$$\begin{aligned} u_{(j)} &= \lambda_u |t_{(j)}^{u\downarrow}| + t_{(j)}^{u\uparrow}, & t_{(j)}^{u\downarrow}, t_{(j)}^{u\uparrow} &\sim N(0, \sigma_u^2) \\ \epsilon_{i(j)} &= \lambda_\epsilon |t_{i(j)}^{\epsilon\downarrow}| + t_{i(j)}^{\epsilon\uparrow}, & t_{i(j)}^{\epsilon\downarrow}, t_{i(j)}^{\epsilon\uparrow} &\sim N(0, \sigma_\epsilon^2) \end{aligned} \quad (7)$$

نوشت. با در نظر گرفتن

$$X = \begin{pmatrix} 1 & x_{11} \\ \vdots & \vdots \\ \vdots & \vdots \\ 1 & x_{MM} \end{pmatrix}, \quad \beta' = \begin{pmatrix} \beta_0 \\ \beta_1 \end{pmatrix}, \quad Y = \begin{pmatrix} y_{11} \\ \vdots \\ \vdots \\ y_{M1} \end{pmatrix}, \quad T^{\epsilon\downarrow} = \begin{pmatrix} t_{11}^{\epsilon\downarrow} \\ \vdots \\ \vdots \\ t_{M1}^{\epsilon\downarrow} \end{pmatrix},$$

$$U = \begin{pmatrix} u_1 \\ \vdots \\ u_M \end{pmatrix}, \quad T^{u_1} = \begin{pmatrix} t_1^{u_1} \\ \vdots \\ t_M^{u_1} \end{pmatrix},$$

و با توجه به ساختار آشیانی داده‌ها،تابع چگالی توانمداده‌ها براساس مولفه‌های تصادفی را می‌توان به صورت

$$f(Y, T^{\epsilon_1}, U, T^{u_1}) = f(Y|T^{\epsilon_1}, U, T^{u_1})f(T^{\epsilon_1}|U, T^{u_1})f(U|T^{u_1})f(T^{u_1}) \quad (8)$$

نوشت. با در نظر گرفتن  $n = \sum_{j=1}^M M_k$  داریم

$$\begin{aligned} Y|T^{\epsilon_1}, U, T^{u_1} &\sim N_n(X\beta + U + \lambda_\epsilon T^{\epsilon_1 t}, \sigma_\epsilon^2 I_n), \quad T^{u_1} \sim N_M(\circ, \sigma_u^2 I_M), \\ U|T^{u_1} &\sim N_M(\lambda_u T^{u_1 t}, \sigma_u^2 I_M), \quad T^{\epsilon_1}|U, T^{u_1} \sim N_n(\circ, \sigma_\epsilon^2 I_n) \end{aligned} \quad (9)$$

بنابراین تابع چگالی توان به صورت زیر حاصل می‌شود.

$$f(Y, T^{\epsilon_1}, U, T^{u_1}) =$$

$$\begin{aligned} & \prod_{j=1}^M \prod_{i=1}^{M_j} \left( 2\pi\sigma_\epsilon^2 \right)^{-\frac{1}{2}} \exp \left\{ -\frac{1}{2\sigma_\epsilon^2} (y_{i(j)} - \beta_0 - \beta_1 x_{i(j)} - u_{(j)} - \lambda_\epsilon |t_{i(j)}^{\epsilon_1}|)^2 \right\} \\ & \times \prod_{j=1}^M \prod_{i=1}^{M_j} \frac{1}{\sqrt{2\pi\sigma_u^2}} \exp \left\{ -\frac{|t_{i(j)}^{\epsilon_1}|^2}{2\sigma_\epsilon^2} \right\} \\ & \times \prod_{j=1}^M \sqrt{\frac{1}{2\pi\sigma_u^2}} \exp \left\{ -\frac{(u_j - \lambda_u |t_{(j)}^{u_1}|)^2}{2\sigma_u^2} \right\} \\ & \times \prod_{j=1}^M \frac{1}{\sqrt{2\pi\sigma_u^2}} \exp \left\{ -\frac{|t_{(j)}^{u_1}|^2}{2\sigma_u^2} \right\} \end{aligned} \quad (10)$$

## ۲.۲ توزیع پیشین و توزیع پسین

در این مطالعه توزیع‌های توابع پیشین با استفاده از کارهای هوبرت و کسلا (۱۹۹۶) و ژاو و همسکاران (۲۰۰۶) به صورت جدول ۱ انتخاب گردید. با در نظر گرفتن

جدول ۱: توزیع های پیشین برای پارامترهای مدل

ضرایب بتا	پارامتر چولگی	پارامتر پراکنده
$\sigma_u^2 \sim IG(\alpha_u, \beta_u)$	$\lambda_u \sim N(\mu_{\lambda_u}, \sigma_{\lambda_u}^2)$	$\beta_0 \sim N(\mu_{\beta_0}, \sigma_{\beta_0}^2)$
$\sigma_e^2 \sim IG(\alpha_\epsilon, \beta_\epsilon)$	$\lambda_u \sim N(\mu_{\lambda_\epsilon}, \sigma_{\lambda_\epsilon}^2)$	$\beta_1 \sim N(\mu_{\beta_1}, \sigma_{\beta_1}^2)$

و مستقل فرض کردن پارامترهای مدل، توزیع توام

پیشین  $\theta$  به صورت

$$\pi(\theta) = \pi(\beta_0)\pi(\beta_1)\pi(\sigma_u^2)\pi(\sigma_e^2)\pi(\lambda_u)\pi(\lambda_\epsilon) \quad (11)$$

است. با ضرب توزیع پیشین  $\theta$  درتابع چگالی توام، توزیع های شرطی کامل پارامترها با انجام محاسبات تحلیلی به صورت زیر حاصل می شوند.

$$\beta_0|others \sim N\left(\frac{\frac{\mu_{\beta_0}}{\sigma_{\beta_0}^2} + \frac{1}{\sigma_\epsilon^2} \sum_{j=1}^M \sum_{i=1}^{M_k} (y_{i(j)} - \beta_1 x_{i(j)} - u_{j(k)} - \lambda_\epsilon |t_{i(j)}^\epsilon|)}{\frac{1}{\sigma_{\beta_0}^2} + \frac{n}{\sigma_\epsilon^2}}, \right)$$

$$\left( \frac{1}{\sigma_{\beta_0}^2} + \frac{n}{\sigma_\epsilon^2} \right)^{-1}$$

$$\beta_1|others \sim N\left(\frac{\frac{\mu_{\beta_1}}{\sigma_{\beta_1}^2} + \frac{1}{\sigma_\epsilon^2} \sum_{j=1}^M \sum_{i=1}^{M_k} (y_{i(j)} - \beta_0 - u_j - \lambda_\epsilon |t_{i(j)}^\epsilon|) x_{i(jk)}}{\frac{1}{\sigma_{\beta_1}^2} + \frac{\sum_{j=1}^M \sum_{i=1}^{M_k} x_{i(jk)}^2}{\sigma_\epsilon^2}}, \right)$$

$$\left( \frac{1}{\sigma_{\beta_1}^2} + \frac{\sum_{j=1}^M \sum_{i=1}^{M_k} x_{i(jk)}^2}{\sigma_\epsilon^2} \right)^{-1}$$

$$\lambda_\epsilon|others \sim N\left(\frac{\frac{\mu_{\lambda_\epsilon}}{\sigma_{\lambda_\epsilon}^2} + \frac{1}{\sigma_\epsilon^2} \sum_{j=1}^M \sum_{i=1}^{M_k} (y_{i(j)} - \beta_0 - \beta_1 x_{i(j)} - u_{(j)}) |t_{i(j)}^\epsilon|}{\frac{1}{\sigma_{\lambda_\epsilon}^2} + \frac{1}{\sigma_\epsilon^2} \sum_{j=1}^M \sum_{i=1}^{M_k} t_{i(j)}^{\epsilon 2}}, \right)$$

$$\left( \frac{1}{\sigma_{\lambda_\epsilon}^2} + \frac{1}{\sigma_\epsilon^2} \sum_{j=1}^M \sum_{i=1}^{M_k} t_{i(j)}^{\epsilon 2} \right)^{-1}$$

$$\lambda_u|others \sim N\left(\frac{\frac{\mu_{\lambda_u}}{\sigma_{\lambda_u}^2} + \frac{1}{\sigma_u^2} \sum_{j=1}^M \sum_{i=1}^{M_k} |t_{i(j)}^u|}{\frac{1}{\sigma_{\lambda_u}^2} + \frac{1}{\sigma_u^2} \sum_{j=1}^M \sum_{i=1}^{M_k} t_{j(i)}^u}, \left( \frac{1}{\sigma_{\lambda_u}^2} + \frac{1}{\sigma_u^2} \sum_{j=1}^M \sum_{i=1}^{M_k} t_{j(i)}^u \right)^{-1} \right)$$

$$\begin{aligned}\sigma_{\epsilon}^{\text{ز}} | \text{others} &\sim IG(n + \alpha_{\epsilon}, \circ / \Delta \sum_{j=1}^M \sum_{i=1}^{M_k} (t_{i(j)}^{\epsilon})^{\text{ز}} \\ &+ (y_{i(j)} - \beta_0 - \beta_1 x_{i(j)} - u(j) - \lambda |t_{i(j)}^{\epsilon}|)^{\text{ز}}) + \beta_{\epsilon}) \\ \sigma_u^{\text{ز}} | \text{others} &\sim IG(M + \alpha_u, \circ / \Delta \sum_{j=1}^M (t_{(j)}^u)^{\text{ز}} + (u_{(j)} - \lambda_u |t_{(j)}^u|)^{\text{ز}}) + \beta_u)\end{aligned}$$

### ۳ مطالعه شبیه‌سازی

برای شبیه‌سازی، ابتدا مدل دو سطحی (۱۲) را با پارامترهای  $\beta_1 = -3$ ,  $\beta_0 = 2$ ,  $x_j = (x_1, x_2, \dots, x_{50}) = (1, 2, 3, 4, 5)$  در نظر گرفته شد، سپس با چهار استراتژی، ۱- مولفه خطا نرمال، مولفه تصادفی نرمال، ۲- مولفه خطا چوله نرمال، مولفه تصادفی نرمال، ۳- مولفه خطا نرمال، مولفه تصادفی چوله نرمال و ۴- مولفه خطا چوله نرمال، مولفه تصادفی چوله نرمال و با استفاده از مقادیر جدول ۲ و به کمک دستور  $sn$  در بسته نرم افزاری R شبیه‌سازی شده است. سپس در هر شبیه‌سازی هر چهار مدل با بسته نرم افزاری R2WinBUGS و نرم افزار WinBUGS به داده‌ها برآش داده شده است. این عمل ۱۰۰ بار تکرار و خلاصه نتایج در جدول ۳ و ۴ ارائه شده است.

در برآش بیزی بعد از بررسی نمودارهای لازم، زمان داغیدن ۱۰۰۰ تعیین شده سپس ۱۰۰۰۰ نمونه از توزیع پسین استخراج و از هر ۱۰۰ نمونه یک نمونه برای تحلیل نهایی در نظر گرفته شده است. همچنین در این مطالعه برای  $\beta_0$ ,  $\beta_1$  و  $\lambda$  توزیع پیشین  $IG(0/0/0/0)$  و برای  $\sigma_u^{\text{ز}}$  و  $\sigma_{\epsilon}^{\text{ز}}$  توزیع پیشین  $N(0/0/0/0)$  در نظر گرفته شده است.

$$y_{i(j)} = \beta_0 + \beta_1 x_{i(j)} + u_{(j)} + \epsilon_{i(j)}, \quad i = 1, \dots, 5, \quad j = 1, \dots, 50 \quad (12)$$

برای مقایسه مدل‌های برآش داده شده از ملاک متوسط قدر مطلق خطا به صورت

$$MAE(\theta_k) = \frac{\sum_{i=1}^n |\hat{\theta}_{ik} - \theta_k|}{n} \quad (13)$$

استفاده شده است، که در آن  $\theta_k$  پارامتر مورد بررسی و  $\hat{\theta}_k$  برآورد بیزی آن است.

## ۲۴۰ ..... تحلیل دو سطحی با مولفه تصادفی چوله نرمال

استراتژی		نماد	توزیع مولفه تصادفی	جدول ۲: چهار استراتژی برای مولفه تصادفی $u_{(j)}$ و $\epsilon_{i(j)}$
$\epsilon_{i(j)}$	$u_{(j)}$			
$N(0, 9)$	$N(0, 4)$	$N - N$	۱	
$SN(0, 9, 3)$	$N(0, 4)$	$SN - N$	۲	
$N(0, 9)$	$SN(0, 4, 2)$	$N - SN$	۳	
$SN(0, 9, 3)$	$SN(0, 4, 2)$	$SN - SN$	۴	

نتایج شبیه‌سازی برآورده پارامتر، میزان خطای برآورده براساس ملاک MAE و درصد بیش برآورده در جداول ۳ و ۴ خلاصه شده‌ند. میزان خطای واقعی برابر با میزان خطای محاسبه شده براساس شاخص MAE است. اما میزان خطای مربوط به مدل میزان انحراف برآورده‌ها در ۱۰۰ بار شبیه‌سازی است. همان‌طور که ملاحظه می‌شود در مدل دو سطحی وقتی مولفه تصادفی و مولفه خطای هر دو نرمال هستند، برآش مدل‌های چوله در مولفه تصادفی و خطای مدل باعث کم برآورده واریانس مولفه چوله می‌شود. این در حالی است که هنگامی که واقعاً مولفه خطای چوله است، و ما از مدل دو سطحی معمولی (توزیع خطای نرمال و توزیع مولفه تصادفی نرمال استفاده نماییم) در صورتی که پارامتر چولگی مشیت باشد مقدار عرض از مبدأ با بیش برآورده و مقدار ضریب متغیر کمکی با کم برآورده مواجه و در صورت چولگی منفی این رفتار با کم برآورده عرض از مبدأ و بیش برآورده ضریب متغیر تبیینی مواجه خواهد داد. از طرف دیگر نتایج این شبیه‌سازی نشان داد که در سطح دوم وقتی داده‌ها واقعاً چوله هستند، پارامتر چولگی معنی دار نمی‌شود.

## ۴ مثال کاربردی

داده‌های این پژوهش از نوع مطالعات طولی گذشته‌نگر بوده و جامعه مورد مطالعه آن را کلیه کارکنان شاغل در کارخانه فولاد مبارکه اصفهان طی سالهای ۱۳۷۰ تا ۱۳۹۰ تشکیل می‌داد. تعداد هم‌گروه مورد نظر در این مطالعه ۵۷۴ نفر بوده که از میان ۶۷۱۳ نفر پرسنل این کارخانه با روش نمونه‌گیری طبقه‌ای خوش‌های از نواحی کاری و سپس مشاهدات یک فرد با مراجعه به پرونده‌های پزشکی کارکنان انجام

پذیرفت. هدف از این مطالعه بررسی رابطه کار در نوبت کاری و شاخص چاقی (BMI) با کلسترول خون بود. در شکل ۱ بافت‌نگار میزان کلسترول و متوسط کلسترول هر فرد نمایش داده شده است. میزان چولگی برای کلیه مشاهدات ۴/۱۶ و برای میانگین هر نفر در زمانهای متفاوت ۳/۳۷ محسوبه گردید. براساس مقادیر چولگی و بافت‌نگار به خوبی می‌توان به اختلاف اساسی فرض نرمال بودن این دو مؤلفه در مدلسازی دوستیقی اطمینان نمود.

جدول ۳: برآورد خطای واقعی برآورد پارامترها

برآورد خطای واقعی پارامترهای مدل						مدل در نظر گرفته شده			مدل واقعی	
$\lambda_u$	$\lambda_e$	$\sigma_u^*$	$\sigma_e^*$	$\beta_1$	$\beta_0$	$u$	$e$			
---	---	۰/۸۵	۰/۷۲	۰/۰۹	۰/۳۸	E	N	N		
---	---	۰/۴۲	۰/۵۷	۰/۰۸	۰/۰۸	P				
---	۲/۰۴	۰/۸۶	۲/۲	۰/۱	۱/۰۹	E	N	SN		
---	۰/۰۱	۰/۹۱	۰/۰۲	۰/۰۵	۰/۴۶	P				$N - N$
۳/۳	---	۲/۰۸	۰/۷۲	۰/۰۹	۰/۹۴	E	SN	N		
۰/۰۳	---	صفر	۰/۵۳	۰/۰۸	۰/۰۱	P				
۳/۲۴	۲/۰۶	۲/۰۶	۲/۲۳	۰/۰۹	۱/۱۶	E	SN	SN		
۰/۰۳	۲/۰۶	صفر	۰/۰۱	۰/۰۷	۰/۰۴	P				
---	---	۰/۷۴	۱۵/۲۲	۰/۰	۶/۸۶	E	N	N		
---	---	صفر	۱	صفر	۱	P				
---	۰/۰۷	۰/۲	۱/۲	۰/۴۹	۱/۰۵	E	N	SN		
---	۱	صفر	صفر	صفر	۱	P				$SN - N$
۴/۲۷	---	۲/۴۸	۱۴/۸۹	۰/۰	۷/۳۹	E	SN	N		
صفر	---	صفر	۱	صفر	۱	P				
۴/۴۷	۰/۳۶	۲/۰۷	۰/۴۶	۰/۴۹	۲/۰۳	E	SN	SN		
صفر	۰/۳۶	صفر	صفر	صفر	۱	P				
---	---	۱۳/۲۷	۰/۷۸	۰/۱	۴/۷۱	E	N	N		
---	---	۱	۰/۴۷	۰/۶	۱	P				
---	۱/۷۴	۱۳/۳۳	۲/۲۷	۰/۱	۴/۲۶	E	N	SN		
---	صفر	۱	۰/۰۳	۰/۰۸	۱	P				$N - SN$
۱/۱۲	---	۲/۹	۰/۷۸	۰/۱	۱/۶۴	E	SN	N		
۰/۴۰	---	۰/۸۵	۰/۴۵	۰/۰۹	۰/۷۶	P				
۱/۱۲	۱/۷۸	۲/۸۲	۲/۳۵	۰/۱	۱/۷۵	E	SN	SN		
۰/۴۸	۱/۷۸	۰/۰۱	۰/۰۲	۰/۰۴	۰/۶۲	P				
---	---	۱۴/۵۷	۱۳/۳۳	۰/۱۵	۹/۴۸	E	N	N		
---	---	۱	۱	۰/۰۷	۱	P				
---	۰/۷۹	۱۴/۶۴	۳/۰۸	۰/۱۶	۵/۲۷	E	N	SN		
---	۰/۰۷	۱	۰/۰۴	۰/۰۵	۱	P				$SN - SN$
۱/۰۸	---	۳/۳۱	۱۳/۱۸	۰/۱۰	۶/۰۵	E	SN	N		
۰/۴۱	---	۰/۸۴	۱	۰/۰۴	۱	P				
/۲۵	۰/۰۳	۳/۳۸	۳/۲۳	۰/۱۶	۲/۰۳	E	SN	SN		
۰/۴۱	۰/۰۳	۰/۰۹	۰/۰۵	۰/۰۲	۰/۸	P				

E: میزان خطای براساس شاخص MSE; P: درصد پیش برآورده

## ۲۴۲ ..... تحلیل دو سطحی با مولفه تصادفی چوله نرمال

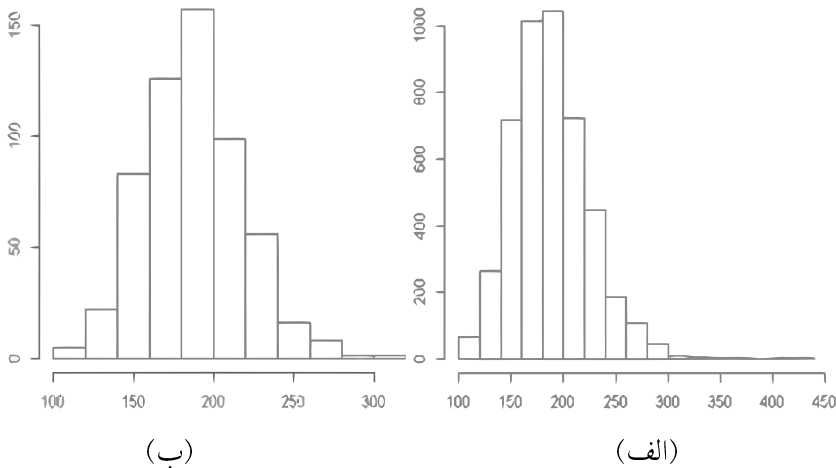
جدول ۴: برآوردهای میانگین و انحراف معیار برآوردهای پارامترها

		برآوردهای پارامترها		مدل در نظر گرفته شده		مدل واقعی	
$\lambda_u$	$\lambda_e$	$\sigma_u^2$	$\sigma_e^2$	$\beta_1$	$\beta_0$	$u$	$e$
---	۳/۹۴	---	۹/۲۱	-۲/۹۸	۱/۹۰	C	N
---	۱/۲۱	---	.۹۳	۰/۱۴	۰/۵۳	D	
---	۳/۹۵	-۰/۰۴	۶/۱۱	-۲/۹۹	۱/۹۷	C	N
---	۱/۲۵	۰/۸۸	۱/۸۱	۰/۱۳	۱/۶۱	D	
-۰/۲۶	۱/۹۲	---	۹/۱۸	-۲/۹۹	۲/۰۵	C	SN
۲/۳۷	۱/۳۶	---	۰/۹۴	۰/۱۳	۱/۶۱	D	
۱/۹۴	۱/۹۴	-۰/۰۴	۶/۷۸	-۲/۹۹	۲/۱۲	C	SN
۱/۳۹	۱/۳۹	۰/۹۲	۱/۸۶	۰/۱۳	۲/۱۷	D	
---	۳/۲۶	---	۲۴/۲۲	-۳/۵	۲/۸۶	C	N
---	۱/۹۵	---	۲/۰۵	۰/۲۲	۰/۷۷	D	
---	۳/۸	۲/۰۷	۷/۸	-۳/۴۹	۳/۰۵	C	N
---	۱/۶۸	۰/۷۷	۳/۲۴	۰/۲۱	۰/۹۷	D	
-۱/۲۷	۱/۰۲	---	۲۳/۸۹	-۳/۵	۹/۳۹	C	SN
۳/۱۹	۱/۰۶	---	۲/۴۳	۰/۲۲	۱/۸۷	D	
۱/۴۳	۱/۱۴۳	۲/۳۶	۸/۰۴	-۳/۴۹	۴/۰۳	C	SN
۱/۳۷	۱/۳۷	۰/۸۳	۲/۸۸	۰/۲۱	۱/۸۵	D	
---	۱۷/۲۷	---	۹/۱	-۲/۹۹	۸/۷۱	C	N
---	۳/۹۸	---	۰/۹	۰/۱۳	۰/۷۴	D	
---	۱۷/۳۳	۰/۲۶	۶/۷۴	-۲/۹۹	۶/۶۴	C	N
---	۴/۰۴	۰/۹۴	۱/۸۸	۰/۱۳	۱/۷۵	D	
۲/۰۲	۶/۶۴	---	۹/۰۵	-۲/۹۹	۳/۳۶	C	SN
۱/۱۲	۴/۴	---	۰/۹۲	۰/۱۳	۲	D	
۶/۰۲	۶/۵۲	۰/۲۳	۶/۶۷	-۳	۲/۹	C	SN
۴/۳۸	۴/۳۸	۰/۹۴	۱/۸۵	۰/۱۳	۲/۵	D	
---	۱۸/۶۷	---	۲۲/۳۳	-۲/۹۷	۱۱/۴۸	C	N
---	۴/۱۴	---	۲/۲۲	۰/۲۱	۰/۹۳	D	
---	۱۸/۹۵	۲/۱۶	۹/۷۱	-۲/۹۸	۷/۲۷	C	N
---	۴/۸۸	۰/۹۶	۳/۸۷	۰/۲	۱/۶۱	D	
۲/۰۸	۷/۰۱	---	۲۲/۱۸	-۲/۹۸	۸/۰۵	C	SN
۱/۹۹	۵/۱۳	---	۲/۲۶	۰/۲۱	۲/۲۹	D	
۷/۱۸	۷/۱۸	۲/۱۲	۹/۸۴	-۲/۹۹	۴/۰۴	C	SN
۵/۰۴	۵/۰۴	۰/۹۵	۳/۸۷	۰/۲	۲/۶۲	D	

در مدل برازش داده شده (۱۴) متغیر پاسخ کلسترول خون (*Cholesterol*)، متغیر نشانگر کار در نوبت کار (*Shift1*), متغیر نشانگر کار در نوبت کار هفتگی (*Shift1*), شاخص توده بدنی (*BMI*), مولفه تصادفی تکرار ( $u_{(j)}$ ) و مولفه تصادفی خطای  $\epsilon_{i(j)}$  می باشد.

$$\begin{aligned} Cholesterol_{i(j)} &= \beta_0 + \beta_1 Shift1_{i(j)} + \beta_2 Shift2_{i(j)} \\ &+ \beta_3 BMI_{i(j)} + u_{(j)} + \epsilon_{i(j)}, \quad i = 1, \dots, n_j \quad j = 1, \dots, 574 \end{aligned} \quad (14)$$

پس از بررسی توصیفی داده های مطالعه، جهت انجام تحلیل بیزی بعد از بررسی



شکل ۱: (الف) بافت‌نگار میزان کلسترول کلیه مشاهدات، (ب) بافت‌نگار میانگین میزان کلسترول هر فرد.

نمودارهای لازم، زمان داغیدن  $10000$  تعیین گردید. سپس  $10000$  نمونه از توزیع پسین استخراج گردید. از هر  $100$  نمونه به دست آمده یکی به عنوان نمونه نهایی در نظر گرفته شد. به عبارتی دیگر در پایان از  $100$  نمونه برای استنباط‌ها استفاده گردید. در این تحلیل برای مقادیر  $\beta$  و  $\lambda$  از توزیع پیشین  $(\beta, \lambda) \sim IG(1, 0.001)$  استفاده شده است.

برای مقایسه مدل‌های برازش داده شده از ملاک اطلاع انحراف (DIC =  $\overline{D(\theta)} + P_D$ ) استفاده شد، که در آن  $\overline{D(\theta)}$  میانگین پسین انحراف بوده و میزان برازش را نشان می‌دهد،  $P_D$  برابر با تعداد پارامترهای موثر است و میزان پیچیدگی مدل را نشان می‌دهد. بر اساس این معیار مدلی که دارای کمترین مقدار DIC باشد به عنوان بهترین مدل انتخاب می‌شود. این معیار برای هر اندازه نمونه قابل استفاده بوده و به آسانی توسط روش‌های مونت کارلوی زنجیره مارکوفی قابل محاسبه است (اسپیگرهالت و همکاران، ۲۰۰۲).

در جدول ۵ خلاصه اطلاعات مربوط به مقادیر DIC محاسبه شده برای ۴ مدل

## ۲۴۴ ..... تحلیل دو سطحی با مولفه تصادفی چوله نرمال

ارائه شده‌اند. با توجه به مقادیر DIC مدل شماره ۲ (توزیع نرمال چوله برای مولفه خطأ و توزیع نرمال برای مولفه‌های تصادفی فرد) به عنوان بهترین مدل برآذش داده شده انتخاب گردید. نتایج حاصل از برآورد و فواصل اطمینان ناپارامتری بیزی ضرایب در جدول ۶ نشان‌دهنده آن است که متغیر BMI بر کلسیتروول خون تاثیر مثبت معنی‌دار دارد و متغیر نوبت کاری بر میزان کلسیتروول تاثیر معنی‌داری ندارد. همچنین پارامتر چولگی، واریانس سطح اول و خطأ معنی‌دار است.

**جدول ۵: خلاصه اطلاعات DIC برای مدل‌های برآذش داده شده**

ردیف	شماره	مولفه تصادفی			$\epsilon_{i(j)}$	$u_{(j)}$	مدل
		DIC	$D(\theta)$	$pD$			
۱۵	۴۱۷۶۰	۴۱۲۵۵	۵۳۵	نرمال	نرمال	۱	
۱۸۲	۴۰۳۵۰	۳۷۱۴۰	۳۲۱۰	چوله نرمال	نرمال	۲	
۲۹	۴۰۶۹۰	۴۰۱۵۹	۵۳۱	نرمال	چوله نرمال	۳	
۱۴۷	۴۰۴۴۰	۳۷۹۳۱	۲۵۰۹	چوله نرمال	چوله نرمال	۴	

**جدول ۶: نتایج حاصل از برآورد و بازه اطمینان ناپارامتری بیزی ضرایب**

$\lambda_e$	$\sigma_u^2$	$\sigma_e^2$	$\beta_3$	$\beta_2$	$\beta_1$	$\beta_0$	
۱/۸۵	۷۴۱/۶	۲۱۰/۴	۳/۷۷	-۲/۶۸	-۳/۹۰	۷۲/۹۲	برآورد
۰/۴۱	۵۷/۷۹	۲۹/۷۱	۰/۲۰	۴/۷۱	۲/۷۳	۵/۵۵	انحراف معیار
۱/۵۵	۶۵۰/۸	۸۳/۳۵	۲/۳۰	-۱۱/۸۴	-۸/۷۱	۶۱/۲۷	حد پایین
۳/۸۱	۸۴۷/۵	۲۴۵/۱	۴/۲۱	۶/۶۲	۳/۱۴	۸۵/۲۶	حد بالا

## ۵ بحث و نتیجه‌گیری

در این مقاله با توجه به اینکه کلسیتروول خون متغیری ذاتاً چوله است (لاچوس و همکاران، ۲۰۰۹) بنابراین انتظار ما پیش از برآذش مدل این بود که انتخاب مدل دو سطحی معمول برآذش ضعیفی را نسبت به مدل‌های چوله ارائه نماید. این مطلب با برآذش ۴ مدل پیشنهادی مورد بررسی قرار گرفته و همانگونه که مقادیر DIC ارائه شده در جدول ۵ نمایش می‌دهد از بین تمام مدل‌های برآذش داده شده مدل شماره ۲ (توزیع نرمال چوله برای مولفه خطأ و توزیع نرمال برای مولفه‌های تصادفی فرد)

۲۴۵ ..... محمد غلامی فشارکی و همکاران

دارای برازش بهتری نسبت به مدل دو سطحی معمول با توزیع نرمال بوده و توزیع های چوله بخوبی توانسته بود تا اثر تخطی داده ها از توزیع نرمال را کنترل نماید. همچنین نتایج حاصل از مطالعه شیوه سازی نشان داد که در حضور چولگی مثبت مولفه خطای مدل، مقدار عرض از مبدأ بیشتر از مقدار واقعی برآورده و در صورتی که پارامتر چولگی منفی باشد این میزان کمتر از مقدار واقعی برآورده می شود. بیش برآورده عرض از مبدأ باعث کم برآورده ضریب متغیر تبیینی و همچنین کم برآورده عرض از مبدأ باعث بیش برآورده ضرایب متغیرهای تبیینی می گردد (نتر و همکاران، ۱۹۸۷) نتایج بیشتر نشان دهنده عدم معنی داری پارامتر چولگی متغیر تصادفی سطح دوم در داده هایی که سطح دوم آن از توزیع چوله شیوه سازی شده بود می باشد. از آنجایی که برآورد تقریبی مولفه تصادفی خوش نام برای با  $\bar{y} - \bar{y}_0$  است، که در آن  $\bar{y} - \bar{y}_0$  متوسط متغیر پاسخ برای همه مشاهدات خوش نام می باشد و با خاطر متوسط گیری و طبق قضیه حد مرکزی که میانگین نمونه به توزیع نرمال میل می نماید می توان گفت که چولگی مولفه تصادفی سطح دو با متوسط گیری به نوعی از داده ها حذف می شود.

بنابراین استفاده از خانواده توزیع های نامتقارن به جای در نظر گرفتن توزیع نرمال برای مولفه های تصادفی و خطای مدل روشنی کارا در تحلیل داده های دو سطحی با متغیر چوله نرمال بوده و به عنوان جایگزینی مناسب برای روش هایی مانند روش تبدیل متغیر و استفاده از روش های ناپارامتری پیشنهاد می گردد.

## تقدیر و تشکر

نویسنده ای از پیشنهادات ارزنده داوران گرامی مجله که باعث ارائه بهتر و بهبود مقاله شده است، کمال تشکر را دارند.

مراجع

Arellano-Valle, R. B., Bolfarine, H. and Lachos V. H. (2005), Skew-Normal Linear Mixed Models, *Journal of Data Science*, **3**, 415-438.

Azzalini A. (1985), A Class of Distributions which Includes the Normal Ones, *Scandinavian Journal of Statistics Theory and Applications*, **12**, 171-178.

Bandyopadhyay, D., Lachos, V. H., Abanto-Valle, C. A. and Ghosh, P. (2010), Linear Mixed Models for Skew-Normal/Independent Bivariate Responses with an Application to Periodontal Disease, *Statistics in Medicine*, **29**, 2643-2655.

Goldstein, H. (2005), *Handbook of Multilevel Analysis*, Springer, New York.

Hobert, J. and Casellas, G. (1996), The Effect of Improper Priors on Gibbs Sampling in Hierarchical Linear Mixed Models, *Journal of the American Statistical Association*, **91**, 1461-1473.

Hox, J. J. (2010), *Multilevel Analysis: Techniques and Applications (Quantitative Methodology Series)* Great Britain, Routledge.

Jara, A., Quintana, F. and San Martin, E. (2008), Linear Mixed Models with Skew-Elliptical Distributions: a Bayesian Approach, *Computational Statistics and Data Analysis*, **52**, 5033-5045.

Lachos, V. H., Bolfarine, H. and Arellano-Valle, B. (2009), Bayesian Inference for Skew-Normal Linear Mixed Models, *Journal of Applied Statistics*, **34**, 663-682.

۲۴۷ ..... محمد غلامی فشارکی و همکاران .....

- Lange, K. and Sinsheimer J. S. (1993), Normal/Independent Distributions and Their Applications in Robust Regression, *Journal of Computational and Graphical Statistics*, **2**, 175-198.
- Lee, J. C., Lin, T. I., Lee, K. J. and Hsu, Y. L. (2005), Bayesian Analysis of Box-Cox Transformed Linear Mixed Models wtth (p,q)ARMA Dependence, *Journal of Statistical Planning and Inference*, **133**, 435-451.
- Lin, T. I. and Lee, J. C. (2006), A Robust Approach to t Linear Mixed Models Applied to Multiple Sclerosis Data, *Statistics in Medicine*, **25**, 1397-1412.
- Lin, T. I. and Lee, J. C. (2007), Bayesian Analysis of hierarchical Linear Mixed Modeling Using Multivariate t Distributions, *Journal of Statistical Planning and Inference*, **137**, 484-495.
- Lin, T. I. and Lee, J. C. (2008), Estimation and Prediction in Linear Mixed Models with Skew-Normal Random Effects for Longitudinal Data, *Statistics in Medicine*, **27**, 1490-1507.
- Luke, A. D. (2004), *Multilevel Modeling (Quantitative Applications in the Social Sciences)*, A Sage University Paper Series.
- Ma, Y. M., Genton, G. and Davidian, M. (2004), *Skew-Elliptical Distributions and their Applications: A Journey Beyond Normality, Linear Mixed Models with Flexible Generalized Skew-Elliptical Random Effect*, Chapman & Hall, CRC Press, Boca Raton, FL.
- Neter, J., Wasserman, W. and Whitmore, G. A. (1987), *Appliede Statistics*, Boston Allyn and Bacon Publisher.

تحليل دو سطحی با مولفه تصادفی چوله نرمال ..... ۲۴۸

Pinheiro, J. C. and D. M. Bates (2000), *Mixed-Effects Models in S and S-PLUS*, New York, Springer-Verlag.

Pinheiro, J. C., Liu, C. H. and Wu, Y. N. (2001), Efficient Algorithms for Robust Estimation in Linear Mixed-Effects Models Using a Multivariate t-Distribution, *Journal of Computational and Graphical Statistics*, **10**, 249-276.

Rosa, G. J. M., Padovani, C. R. and Gianola, D. (2003), Robust Linear Mixed Models with Normal/Independent Distributions and Bayesian MCMC Implementation, *Biometrical Journal*, **45**, 573-590.

Spiegelhalter, D. J., Best, N .G., Carlin, B. P. and Van Der Linde, A. (2002), Bayesian Measures of Model Complexity and Fit (with discussion), *Journal of Royal Statistical Society, B*, **64**, 583-640.

Tsung, I. L. and Lee, J. C. (2003), On Modelling Data from Degradation Sample Paths over Time, *Australian and New Zealand Journal of statistics*, **45**, 257-270.

Zhao, Y., Staudenmayer, J., Coull, B. and Wand, M. (2006), General Design Bayesian Generalized Linear Mixed Models, *Statistical Science*, **21**, 35-51.

Zhou, T. and He, X. (2008), Three-Step Estimation in Linear Mixed Models with Skew-t Distributions, *Journal of Statistical Planning and Inference*, **138**, 1542-1555.